

## تفسیر منبع احتمالی زمین‌گرمایی منطقه شمال سبلان با استفاده از مدل‌سازی معکوس سه‌بعدی داده‌های مگنتوتلوریک

رضا قائد رحمتی<sup>۱\*</sup>، علی مرادزاده<sup>۲</sup>، نادر فتحیان پور<sup>۳</sup>

۱- استادیار، گروه مهندسی معدن، دانشکده فنی مهندسی، دانشگاه لرستان، ایران. r.ghaedrahmati@yahoo.com

۲- استاد، دانشکده مهندسی معدن، پردیس دانشکده های فنی، دانشگاه تهران ، a\_moradzadeh@ut.ac.ir

۳- دانشیار، دانشکده مهندسی معدن، دانشگاه صنعتی اصفهان، ایران، fathian@cc.iut.ac.ir

(دریافت ۱۵ دی ۱۳۹۲، پذیرش ۴ اسفند ۱۳۹۳)

### چکیده

با توجه به این که ساختارهای واقعی زمین به صورت سه‌بعدی هستند، به همین دلیل تفسیر سه‌بعدی ساختارها از نظر دقت بسیار مؤثرتر از روش‌های یک و دو‌بعدی است. در این مقاله هدف این است تا با استفاده از مدل‌سازی سه‌بعدی داده‌های مگنتوتلوریک منطقه شمال سبلان، منابع احتمالی زمین‌گرمایی در این منطقه بررسی می‌شود. برای این منظور با بررسی داده‌های مگنتوتلوریک در این منطقه و تحلیل‌های ابعادی با استفاده از روش‌های چولگی حساس به فاز و نامغایرهای چرخشی، نشان داده شده است که ساختارهای منطقه بخصوص در دوره‌های تناوب بلند (بالای ۲ ثانیه) دارای ماهیت سه‌بعدی می‌باشند و مدل‌سازی سه‌بعدی داده‌های مگنتوتلوریک امروز اجتناب‌ناپذیر است. سپس با طراحی یک شبکه مناسب و بکارگیری الگوریتم مدل‌سازی معکوس سه‌بعدی، مدل مناسب مقاومت‌ویژه برای داده‌های مگنتوتلوریک منطقه به دست آمده است. با استفاده از نتایج مدل‌سازی سه‌بعدی، اطلاعات زمین‌شناسی و نتایج مدل‌سازی دو‌بعدی موجود، میدان زمین‌گرمایی در این منطقه بررسی شده و موقعیت منطقه داغ‌تر، معرف منبع زمین‌گرمایی و همچنین مناطق دگرسانی مرتبط با این منبع مشخص شده است.

### کلمات کلیدی

مدل‌سازی سه‌بعدی، مگنتوتلوریک، زمین‌گرمایی، شمال سبلان

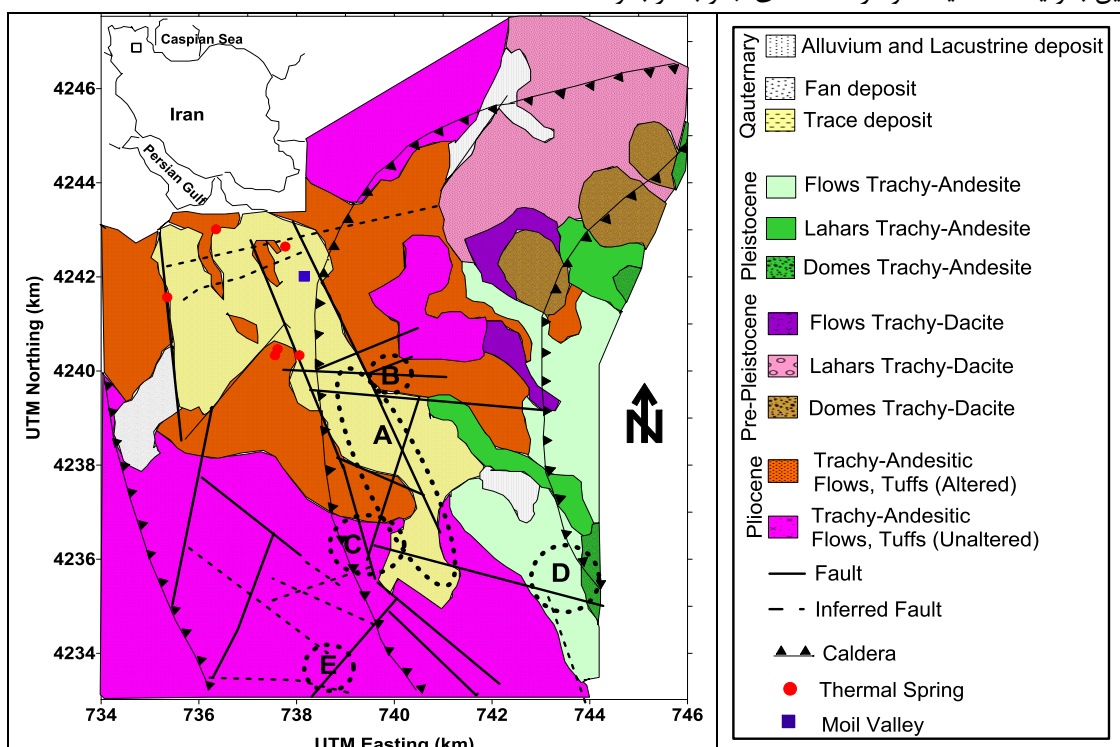
## ۱- مقدمه

جنوب شرق روی باتولیت را توالی از رسوبات اواخر میوسن می‌پوشاند [۱۰۲].

در سال ۱۹۹۸ سازمان انرژی‌های نو ایران طی قراردادی با مشاور نیوزیلندی<sup>۱</sup> SKM اندازه‌گیری‌های ژئوفیزیکی را با استفاده از روش‌های مگنتوتولوریک، الکترومغناطیس حوزه زمانی<sup>۲</sup> و جریان مستقیم<sup>۳</sup> انجام داد و تعدادی آنومالی رسانا مرتبط با منابع زمین‌گرمایی در منطقه سبلان را مشخص کرد [۲۰۳]. بزرگترین آنومالی‌ها در دره موبیل (شکل ۱) ثبت شد. بر اساس این آنومالی‌ها سه چاه اکتشافی بین سال‌های ۲۰۰۲ تا ۲۰۰۴ در یک آنومالی رسانا در دره موبیل حفاری شد. متأسفانه در این مرحله از حفاری‌ها نتایج موفق‌آمیزی به‌دست نیامد. بر اساس نتایج تفسیر دوباره کارهای اکتشافی تلفیقی، احتمال داده شد که سیالات با درجه حرارت بالا از جنوب یا جنوب شرق این منطقه جریان می‌یابد [۲۰۴]. سپس حفاری‌های جدیدی در محل‌های D و E (شکل ۲) برای اکتشافات بیشتر توصیه شد.

میدان زمین‌گرمایی سبلان شامل نواحی شمال تا شمال غرب و غرب تا جنوب غرب کوه سبلان در استان اردبیل است. پروژه زمین‌گرمایی سبلان به منظور اکتشاف و توسعه منابع زمین‌گرمایی مرتبط با فعالیت‌های گرمایی سطحی در این منطقه است. بیشتر این فعالیت‌های گرمایی سطحی مثل چشمه‌های آب گرم در دامنه غربی کوه سبلان واقع شده‌اند.

شکل ۱ نقشه زمین‌شناسی منطقه را نشان می‌دهد. سبلان یک عضو جوان از مجموعه آتش‌نشانی سنوزوئیک و متعلق به کمان ماقمایی البرز است. کمان ماقمایی البرز حاصل فرورانش بخشی از حوزه اقیانوسی نئوتیس در زیر لیتوسفر قاره‌ای شمال غرب ایران است. فعالیت‌های آذرین در اوسن با تجمع ولکانیک‌های پتاسیک بر روی توالی از رسوبات پالئوزوئیک و مزووزوئیک آغاز شد. این مجموعه ولکانیکی در اوایل میوسن توسط باتولیت مونزونیتی که در امتداد شمال غربی-جنوبی در خط الرأس کوه سبلان رخمنون یافته، دچار دگرگونی حرارتی شده‌اند. بالا آمدگی و فرسایش قابل ملاحظه این باتولیت ادامه یافته و در امتدادهای جنوب غرب و



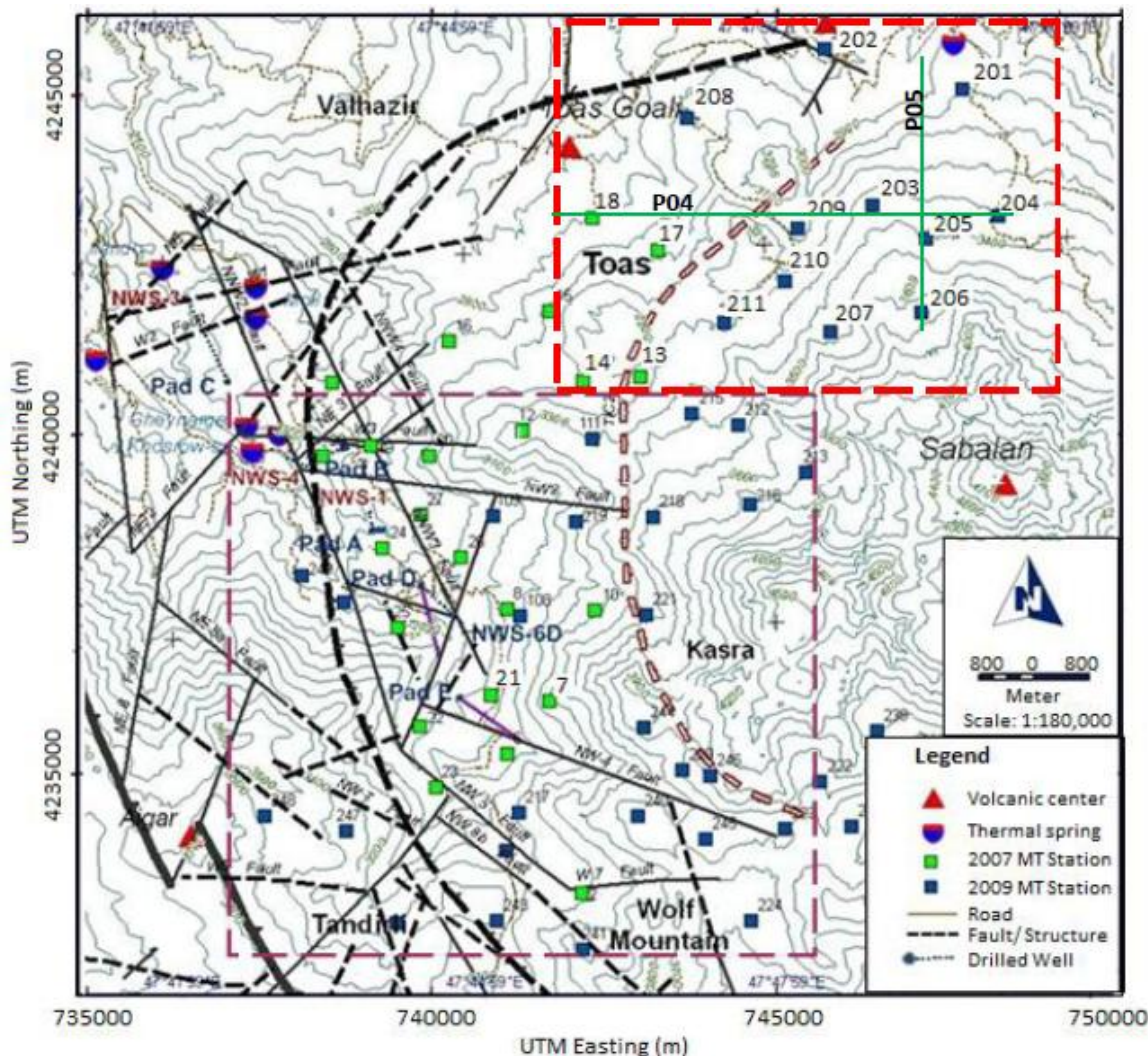
شکل ۱: زمین‌شناسی منطقه زمین‌گرمایی سبلان [۱۰۶].

ها برای فرکانس‌های کمتر از ۲ هرتز اکیفیت خوبی نداشتند و برای همین قادر به ثبت پاسخ‌های مربوط به عمق‌های قبل

داده‌های مگنتوتولوریک ثبت شده در سال ۱۹۹۸ در محدوده فرکانسی ۲-۱۰۰۰ هرتز اکیفیت مطلوبی داشتند. اما این داده-

ایستگاه‌های مگنتوتولویریک در تعیین مرزهای این آنومالی به خصوص در بخش شرق و جنوب شرق آن، اندازه‌گیری‌های مجدد برای پوشش کامل‌تر منطقه توسط شرکت EDC در سال ۲۰۰۹ صورت گرفت [۵]. تفسیر داده‌های مگنتوتولویریک در سال ۲۰۰۷ و ۲۰۰۹ توسط مدل‌های دو بعدی، یک منطقه داغ تر<sup>۵</sup> در شرق محل حفاری D را به عنوان منبع اصلی زمین‌گرمایی برای منطقه غرب و جنوب غرب سبلان مشخص کرد.

ملاحظه نبودند. در سال ۲۰۰۷ سازمان انرژی‌های نو سری جدید اندازه‌گیری‌های مگنتوتولویریک با زمان تناوب طولانی را به کمک شرکت فیلیپینی<sup>۶</sup> EDC طراحی و اجرا کرد. هدف از این کار تعیین موقعیت منبع احتمالی و همچنین موقعیت چاههای حفاری جدید برای توسعه تجهیزات بهره‌برداری زمین‌گرمایی بود [۴]. نتایج این مطالعه تعیین یک آنومالی با مقاومت‌ویژه کم در شرق محل حفاری E به عنوان منبع زمین‌گرمایی سبلان بوده است. با توجه به ناکافی بودن



شکل ۲: موقعیت محدوده‌های مورد مطالعه روی نقشه توپوگرافی منطقه زمین‌گرمایی سبلان [۵]. چهارگوش قرمز محدوده شمال سبلان (مورد مطالعه در این مقاله) و چهارگوش بنفش محدوده غرب و جنوب غرب سبلان [۶] را نشان می‌دهند.

و مدل‌سازی سه‌بعدی این داده‌ها یک تفسیر کامل برای منبع زمین‌گرمایی در این بخش ارائه کردند. با توجه به نتایج مطالعه می‌توان اشاره کرد که موقعیت منبع زمین‌گرمایی

قائده‌رحمتی و همکاران [۶] با بررسی مجدد داده‌های مگنتوتولویریک ۲۰۰۷ و ۲۰۰۹ منطقه غرب و جنوب غرب کوه سبلان (شکل ۲) با استفاده از روش‌های مختلف تحلیل ابعادی

افزایش عمق، پیچیدگی ساختار و میل به سه بعدی بودن بیشتر می شود.

نتایج تحلیل ابعادی توسط نامتفاوتی های چرخشی برای ۵ ایستگاه اندازه گیری مگنتوتولوریک، به عنوان ایستگاه های معرف منطقه مورد مطالعه، در جدول ۱ نشان داده شده است. این تحلیل ها برای ۶ محدوده زمان تناوب در هر ایستگاه انجام شده است. نتایج این بررسی ها نیز نشان می دهد که ساختارهای زیر سطحی از نظر ابعادی اغلب سه بعدی بوده مگر برای برخی زمان های تناوب کوتاه، که در این محدوده های زمان تناوب، ساختارها یک بعدی، یک بعدی متأثر از اثرات سه بعدی یا دو بعدی هستند. نتایج تحلیل ابعادی با هر (شکل ۳) و همچنین نتایج تحلیل نامتفاوتی های چرخشی (جدول ۲) بیان کننده پیچیدگی و ماهیت سه بعدی ساختارهای زیر سطحی منطقه شمال سبلان، به خصوص برای زمان های تناوب بلند می باشند. به همین دلیل با توجه به موارد بیان شده ضرورت مدل سازی سه بعدی برای داده های مگنتوتولوریک این منطقه مشخص می شود.

**۳- مدل سازی معکوس سه بعدی داده های مگنتوتولوریک**  
برای اجرای الگوریتم معکوس سازی سه بعدی [۹] روی داده های مگنتوتولوریک، ابتدا یک مدل اولیه با مقاومت ویژه ۱۰۰ اهم- متر ساخته شده است. در این مدل ۲۲ بلوک مقاومت ویژه در جهت x (شمال-جنوب)، ۲۶ بلوک در جهت y (شرق- غرب) و ۲۳ لایه در جهت قائم طراحی شده است. ضخامت لایه ها به طرف عمق های بیشتر با ضربی ۱/۲ افزایش یافته است. در ضمن ۷ لایه هوا نیز در سطح منظور شده است. همچنین برای داده های مؤلفه های اصلی و کمکی امپدانس به ترتیب ۱۰ و ۲۰ درصد خطای کف در نظر گرفته شده است. به همین دلیل برخی از داده های پرت و با خطای بالای ۲۰۰ درصد نیز قبل از ورود به معکوس سازی حذف شده اند. در عملیات معکوس سازی ۱۵ ایستگاه مورد مطالعه در ۱۶ زمان تناوب با محدوده ۰/۰۱ تا ۱۰۰ ثانیه استفاده شده اند. همچنین بنا بر دلایل بیان شده توسط قائد رحمتی و همکاران (۲۰۱۳) که داده های حاوی نویه مؤلفه های کمکی امپدانس باعث کاهش کیفیت مدل سازی می شوند، در اینجا فقط از داده های مربوط به مؤلفه های اصلی امپدانس در معکوس سازی سه بعدی استفاده شده است.

شکل ۴ نتایج مدل سازی معکوس سه بعدی حاصل از داده های مگنتوتولوریک شمال سبلان را به صورت مقاطع افقی مقاومت- ویژه در عمق های مختلف نشان می دهد. همچنین شکل ۵

(یعنی منطقه داغ تر) در غرب و جنوب غرب سبلان به شکل بهتری نسبت به نتایج مدل سازی های دو بعدی تعیین شده است. به طوری که، پیش بینی شد این منبع در مرکز تاحیه مورد مطالعه در زیر ایستگاه های ۷ و ۲۱ در منطقه ای بیضی شکل و با مساحت حدود ۷ کیلومتر مربع قرار گرفته است (شکل ۲). همچنین آن ها نشان دادند که مرکز جدید این منطقه داغ تر حدود یک کیلومتر نسبت به منطقه داغ قبلی که توسط نتایج مدل سازی های دو بعدی تعیین شده است، به طرف جنوب جابجا شده است. به علاوه آن ها با استفاده مدل سازی سه بعدی و تلفیق نتایج با اطلاعات زمین شناسی موقعیت مناطق دگرسانی مرتبط با منبع زمین گرمایی مذکور را به خوبی مشخص کردند.

بر اساس مطالعات انجام شده توسط شرکت EDC [۵] یک منبع محلی زمین گرمایی در منطقه شمال کوه سبلان گزارش شده است. این منبع توسط پروفیل های P4 و P5 در شکل ۳ ثبت شده است. در این مطالعه هدف این است که با بررسی مجدد داده های مگنتوتولوریک ۲۰۰۷ و ۲۰۰۹ این منطقه (شکل ۲) و تفسیر سه بعدی این داده ها، منبع احتمالی زمین گرمایی در این منطقه به طور کامل تر مورد بررسی قرار گیرد و با نتایج مدل سازی دو بعدی موجود مقایسه شود.

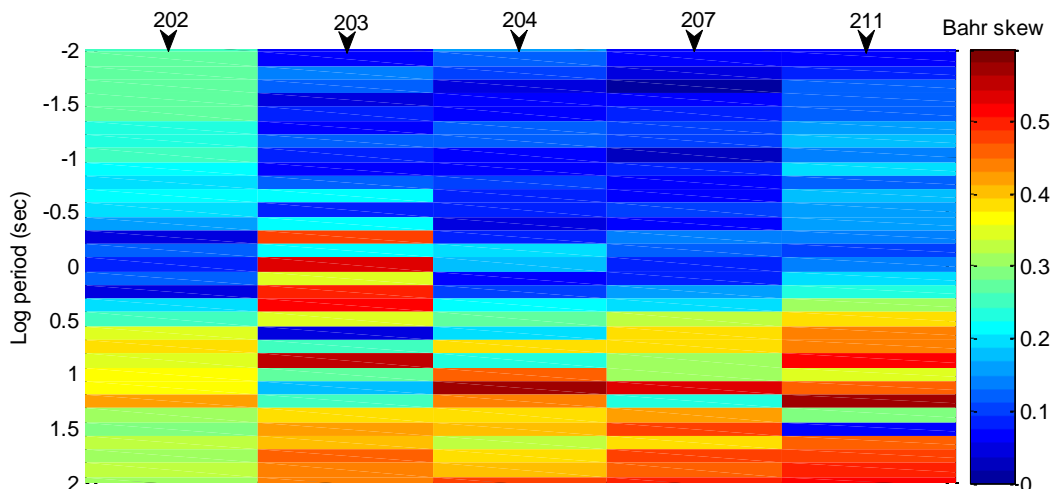
## ۲- داده های مگنتوتولوریک و تحلیل های ابعادی

داده های مگنتوتولوریک در اینجا، شامل داده های ۱۵ ایستگاه مگنتوتولوریک در منطقه شمال سبلان است که در سال های ۲۰۰۷ و ۲۰۰۹ توسط شرکت EDC اندازه گیری شده اند (شکل ۲). قبل از مدل سازی داده های مگنتوتولوریک، این داده ها بررسی می شوند و با استفاده از روش های مختلف تحلیل ابعادی داده های مگنتوتولوریک، ابعاد ساختارهای ژئو الکترونیکی منطقه بررسی می شوند. در این بخش تحلیل های ابعادی برای داده های مگنتوتولوریک دو منطقه غرب و جنوب غرب، و شمال سبلان انجام می شود.

در اینجا از روش های چولگی حساس به فاز با هر [۷] و تحلیل نامتفاوتی های چرخشی [۸] استفاده می شود. شکل ۳ نتایج تحلیل با هر را برای ۵ ایستگاه مگنتوتولوریک که معرف منطقه مورد مطالعه هستند، نشان می دهد. با توجه به این نتایج به طور تقریبی در زمان های تناوب بیشتر از ۳ ثانیه، مقایر پارامتر با هر برای تمامی ایستگاه ها بیشتر از ۰/۳ بوده که ممکن است ناشی از اثرات سه بعدی باشد. این نتایج نشان می دهد که با

با توجه به این که در ناحیه مورد نظر هیچ داده مستقل دیگری (مثل حفاری) وجود ندارد که بتوان از آن برای ارزیابی اعتبار نتایج مدل‌سازی سه‌بعدی استفاده کرد، از این رو مقاطع قائم مقاومت‌ویژه در راستای پروفیل‌های P04 و P05 (شکل ۲) حاصل از مدل‌سازی سه‌بعدی مذکور با مقاطع متناظر حاصل از مدل‌سازی معکوس دو‌بعدی [۵] در شکل ۶ مقایسه شده‌اند. با مقایسه مقاطع حاصل از مدل سه‌بعدی با مقاطع حاصل از مدل‌های دو‌بعدی (شکل ۶)، دیده می‌شود که نتایج مدل‌سازی سه‌بعدی با نتایج مدل‌سازی دو‌بعدی انتباق مناسبی را نشان می‌دهند.

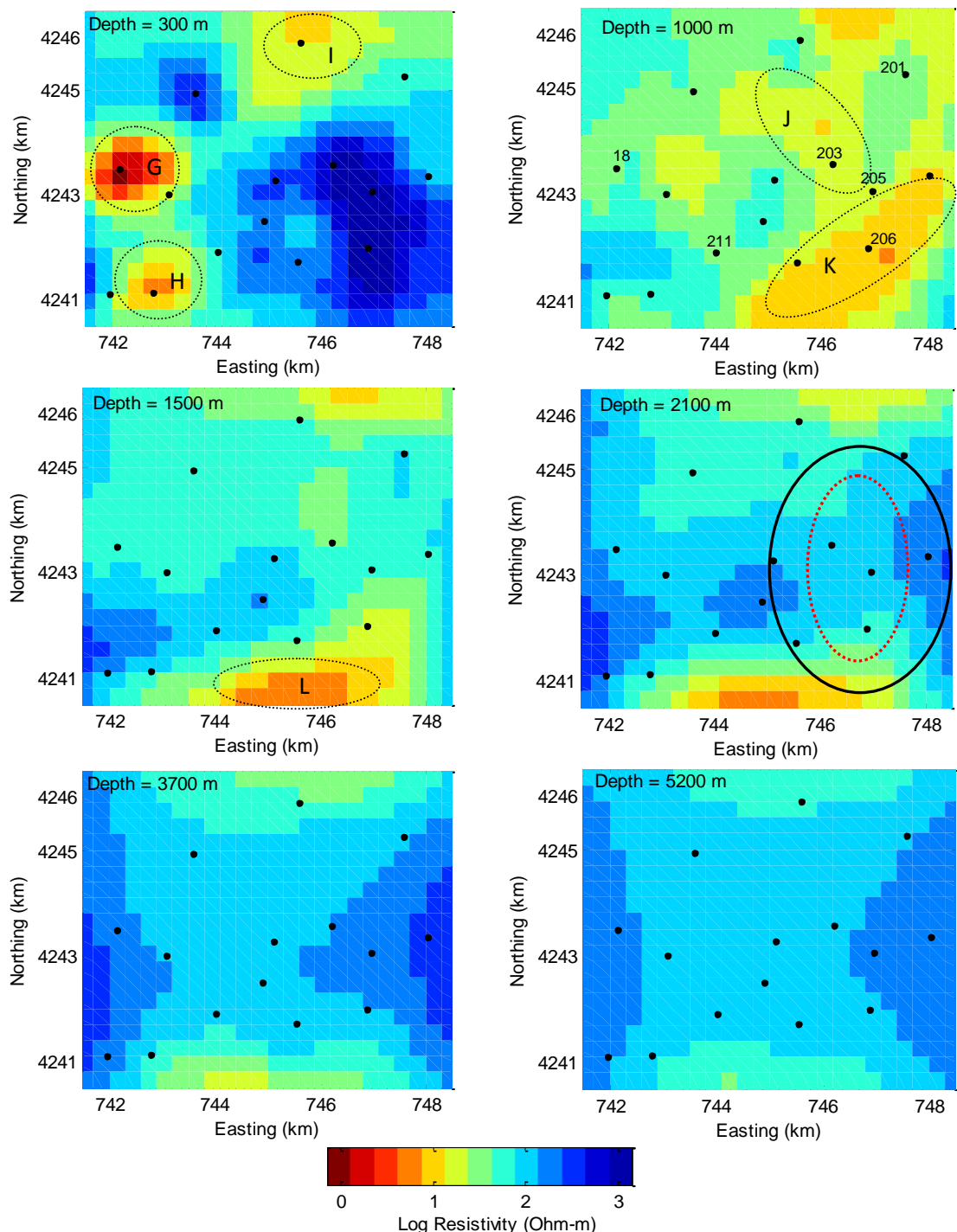
مقایسه پاسخ‌های تئوری و داده‌های مشاهده‌ای متناظر را برای این مدل معکوس سه‌بعدی نشان می‌دهد. با توجه به این شکل در کل پاسخ‌های مدل، برازش بهنسبت خوبی را با داده‌های مشاهده‌ای نشان می‌دهند. البته مقدار اختلاف بین داده‌های مشاهده‌ای و پاسخ مربوطه در هر دو مؤلفه امپدانس برای زمان‌های تناوب حدود ۱ تا ۱۰۰ ثانیه در ایستگاه‌های قرار گرفته در طول ۷۴۲ تا ۷۴۴ کیلومتری وجود دارد. این مقدار اختلاف به خاطر عدم وجود داده مشاهده‌ای در محدوده زمان- تناوب ۱ تا ۱۰۰ ثانیه برای ایستگاه‌های بیان شده است. در دیگر زمان‌های تناوب برای این ایستگاه‌ها و دیگر ایستگاه‌ها، داده‌های مشاهده‌ای و پاسخ مدل در هر دو مؤلفه اصلی امپدانس به خوبی قابل مقایسه هستند.



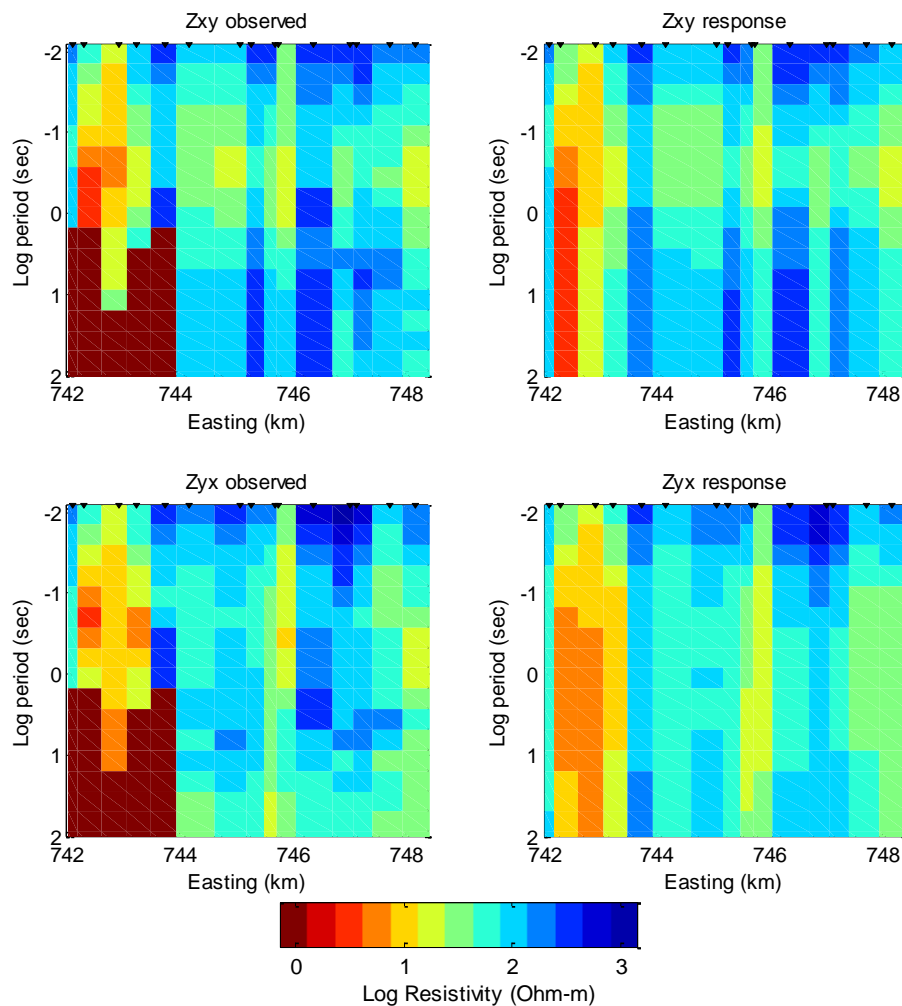
شکل ۳: مقادیر چولگی حساس به فاز (چولگی باهر) در زمان‌های تناوب ۰/۰۱ تا ۱۰۰ ثانیه، برای ۵ ایستگاه مگنتوتولوریک که پوشش دهنده کل محدوده مورد مطالعه شمال سبلان می‌باشند.

جدول ۱: نتایج تحلیل ابعادی ۵ ایستگاه مگنتوتلوریک معرف در منطقه شمال سبلان توسط نامتفاوت‌های چرخشی. شاخص‌های ۱D و ۲D و ۳D به ترتیب مشخص کننده ساختارهای ژئوالکتریکی یک، دو و سه بعدی هستند. شاخص  $3D/1D2D$  مشخص کننده آشفتگی‌های گالوانیک روی یک ساختار یک یا دو بعدی است و دلالت بر عدم به دست آوردن امتدادی برای این ساختارها است. همچنین  $3D/2D$  نشان دهنده یک حالت عمومی از آشفتگی‌های گالوانیک سه بعدی روی ساختار دو بعدی است.

امتداد	ابعاد	تعداد زمان تناوب در محدوده	بیشترین زمان- تناوب (ثانیه)	کمترین زمان- تناوب (ثانیه)	محدوده زمان- تناوب	ایستگاه مگنتوتلوریک
۵۱/۹۲	2D	۲	۰/۰۰۸۷	۰/۰۰۷۶	۱	۱۳
-	3D	۱۱	۰/۰۸۹۳	۰/۰۱۰۳	۲	
۴۶/۴۲	2D	۱۳	۰/۹۸۰۴	۰/۱۰۶۴	۳	
-	3D	۱۱	۹/۳۴۵۸	۱/۱۶۲۸	۴	
-	3D	۷	۰/۰۰۸۷	۰/۰۰۳۱	۱	۲۰۲
-	3D	۱۳	۰/۰۸۹۳	۰/۰۱۰۳	۲	
-	3D	۱۴	۰/۹۸۰۴	۰/۱۰۶۴	۳	
-	3D	۱۱	۹/۳۴۵۸	۱/۱۶۲۸	۴	
۲۸/۲۱	3D/2D	۴	۲۱۷/۳۹۱۳	۱۰۸/۶۹۵۷	۶	۲۰۴
-	3D	۴	۰/۰۰۸۷	۰/۰۰۴۴	۱	
-	1D	۱۱	۰/۰۸۹۳	۰/۰۱۰۳	۲	
۲۳/۹۲	3D/2D	۱۴	۰/۹۸۰۴	۰/۱۰۶۴	۳	
-	3D	۸	۹/۳۴۵۸	۱/۱۶۲۸	۴	۲۰۸
-	3D	۱۱	۵۹۵/۲۳۸۱	۱۰۸/۶۹۵۷	۶	
-	1D	۷	۰/۰۰۸۷	۰/۰۰۳۱	۱	
-	1D	۱۳	۰/۰۸۹۳	۰/۰۱۰۳	۲	
-	3D	۹	۰/۹۸۰۴	۰/۱۰۶۴	۳	۲۱۰
-	3D/1D2D	۶	۰/۰۰۸۷	۰/۰۰۳۱	۱	
-	3D/1D2D	۱۳	۰/۰۸۹۳	۰/۰۱۰۳	۲	
-	3D	۱۴	۰/۹۸۰۴	۰/۱۰۶۴	۳	
-	3D	۷	۹/۳۴۵۸	۱/۱۶۲۸	۴	
-	3D	۴	۵۰۵/۰۵۰۵	۱۰۸/۶۹۵۷	۶	



شکل ۴: مقاطع افقی مقاومت ویژه حاصل از مدل‌سازی معکوس سه‌بعدی داده‌های مگنتوتولوریک منطقه شمال سبلان، در عمق‌های مختلف. مناطق مشخص شده با حروف لاتین G, H, I, J, K و L مشخص کننده آنومالی‌های رسانا مرتبط با منبع زمین‌گرمایی مورد مطالعه بوده که در بخش تفسیر نتایج بررسی می‌شوند. منطقه داغ تعیین شده در این مطالعه توسط یک بیضی با خط چین قرمز و در مطالعات قبلی [۵] توسط یک بیضی با خط ممتد سیاه روی مقاطع مربوط به عمق ۲۰۰۰ متری مشخص شده است. (نقاط روی مقاطع مشخص کننده موقعیت ایستگاه‌های اندازه-گیری هستند همچنین نام برخی ایستگاه‌های شاخص نیز در مقاطع مربوط به عمق ۱۰۰۰ متری آمده است).



شکل ۵: مقایسه شبه مقاطع داده‌های مشاهده‌ای مقاومت‌ویژه برای مؤلفه‌های اصلی امپدانس با شبه مقاطع پاسخ‌های متناظر از مدل معکوس سه‌بعدی شکل ۴. در این مقاطع تمامی ۱۵ ایستگاه روی یک پروفیل شرقی-غربی دلخواه تصویر شده‌اند.

گرمایی تفسیر کرد. این منطقه توسط یک بیضی با خط چین قرمز روی مقاطع افقی مربوط به عمق ۲۰۰۰ متری در شکل ۴ مشخص شده است. همچنین منطقه داغ تعیین شده توسط مطالعات شرکت EDC [۵] با یک ناحیه بزرگتر در همین مقاطع توسط یک بیضی با خط ممتد سیاه نشان داده شده است. مساحت منطقه داغ تعیین شده در این مطالعه حدود ۶ کیلومتر مربع است که نسبت به ناحیه داغ تعیین شده قبلی حدود ۵۰ درصد کوچکتر شده است. در واقع این منطقه جدید یک ناحیه داغ‌تر است. متأسفانه نقشه گسل‌های این منطقه به اندازه نقشه گسل‌های منطقه غرب و جنوب غرب سیلان کامل نیست. اما برخی از گسل‌ها در مقاطع مدل‌های دو بعدی (شکل ۶) مشخص شده‌اند. مناطق G و H در مقاطع افقی مقاومت‌ویژه مربوط به عمق ۳۰۰ متری، ممکن است مناطق دگرسانی کم عمقی باشند که به واسطه عبور سیالات

#### ۴- تفسیر نتایج

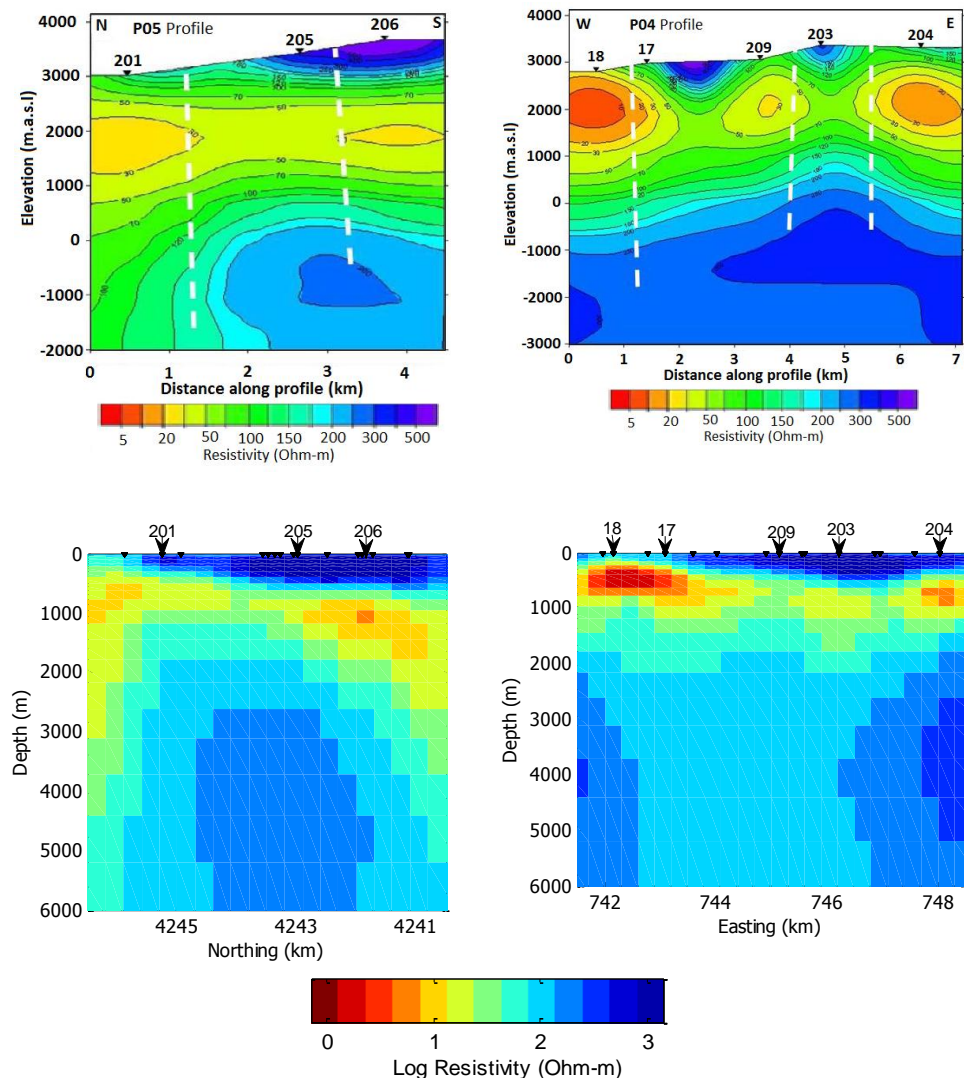
با توجه به شکل ۴ آنومالی‌های رسانایی در مقاطع مختلف این شکل دیده می‌شود که به صورت مناطق مختلف با حروف لاتین مشخص شده‌اند. با در نظر گرفتن نقشه زمین‌شناسی منطقه (شکل ۱)، مناطق آنومالی مذکور را می‌توان به صورت ذیل تفسیر کرد.

با بررسی کلی مقاطع افقی مقاومت‌ویژه در شکل (۴) و همچنین با توجه به مقاطع قائم حاصل از مدل سه‌بعدی (شکل ۶) چنین استنباط می‌شود که بالا آمدگی منطقه مقاوم (با مقاومت‌ویژه حدود ۱۰۰ تا ۲۰۰ اهم-متر) در زیر ایستگاه‌های ۲۰۳ و ۲۰۵ در عمق حدود ۲۰۰۰ متری که دو ناحیه رسانا را از هم جدا می‌کند، امکن است یک منبع زمین-گرمایی باشد. دیگر مناطق آنومالی رسانا را می‌توان به واسطه عبور سیالات گرم در طول گسل‌های مرتبط با این منبع

شده در مقطع شرقی-غربی حاصل از مدل‌سازی دو بعدی در شکل ۶ حد فاصل ایستگاه‌های ۲۰۳ و ۲۰۴ و همچنین ۲۰۹ و ۲۰۱ ایجاد شده‌اند. همچنین منطقه J نیز اباهتمام قوی یک منطقه دگرسانی است که در امتداد گسلی که به طور تقریبی عمود بر قطعه بزرگ بیضی نشان دهنده منطقه داغ در این مطالعه (قطعه افقی در ۲۰۰۰ متری در شکل ۴) است، ایجاد شده است. این گسل در مقاطع حاصل از مدل‌سازی دو-بعدی در شکل ۶ در حد فاصل ایستگاه‌های ۲۰۱ و ۲۰۵ مشخص شده است.

گرم در طول گسل نشان داده شده در مقطع قائم شرقی-غربی مدل دو بعدی شکل ۶ حد فاصل ایستگاه‌های ۱۷ و ۱۸ ایجاد شده‌اند. البته این گسل با یکی از ساختارهای اصلی منطقه (کالدر) که از نزدیک منبع احتمالی تعیین شده عبور کرده است، برخورد می‌کند (شکل‌های ۲ و ۳).

منطقه K در مقطع افقی مقاومت‌ویژه مربوط به عمق ۱۰۰۰ متری و منطقه L که در واقع ادامه منطقه K است و در مقطع ۱۵۰۰ متری ظاهر شده است، به احتمال قوی مناطق دگرسانی عمیق و ضخیم هستند که به واسطه گسل‌های نشان داده



شکل ۶: مقایسه مقاطع قائم حاصل از مدل‌سازی معکوس سه بعدی داده‌های مغنتوتولوریک منطقه شمال سبلان با مدل‌های معکوس دو بعدی توسط EDC [۵]، در امتداد دو پروفیل نشان داده شده در شکل (۲). مقاطع ردیف فوقانی نشان دهنده مدل‌های دو بعدی و مقاطع تحتانی حاصل از مدل سه بعدی هستند. همچنین موقعیت ایستگاه‌های اندازه‌گیری مغنتوتولوریک برای مقایسه بهتر آورده شده است. برخی گسل‌ها نیز با خطوط سفید بریده ضخیم روی مدل‌های دو بعدی نشان داده شده است.

## منابع

- [1] Kingston Morrison (1999) "Sabalan Geothermal Project Stage 2-Preparation for Drilling", *Report submitted to SUNA*, 17p.
- [2] SKM (Sinclair Knight Merz) (2005) "Resource review of the Northwest Sabalan Geothermal Project" *Report submitted to SUNA*, 61 p.
- [3] Bromley, C., Khosrawi, K., Talebi, B. (2000) "Geophysical exploration of Sabalan geothermal prospects in Iran" *World Geothermal Congress*, Japan.
- [4] EDC (Energy Development Corporation) (2008) "2007 MT Survey of NW Sabalan Geothermal Project NW Iran" *Report submitted to SUNA*, 19 p.
- [5] EDC (Energy Development Corporation) (2010) "2009 MT Survey of NW Sabalan Geothermal Project NW Iran" *Report submitted to SUNA*, 13 p.
- [6] Ghaedrahmati, R., Moradzadeh, A., Fathianpour, N., Lee, S. K., Porkhial, S. (2013a) "3-D inversion of MT data from the Sabalan geothermal field, Ardabil, Iran" *Journal of Applied Geophysics*, 93, 12–24.
- [7] Bahr, K. (1991) "Geological noise in magnetotelluric data: a classification of distortion types" *Physics of the Earth and Planetary Interiors*, 66, 24-38.
- [8] Marti, A., Queralt, P., Ledo, J. (2009) "WALDIM: A code for the dimensionality analysis of Magnetotelluric data using the rotational invariants of the Magnetotelluric tensor" *Computer and Geosciences*, 35, 2295–2303.
- [9] Siripunvaraporn, W., Egbert, G., Lenbury, Y., Uyeshima, M. (2005) "Three-dimensional magnetotelluric inversion: data-space method" *Physics of The Earth and Planetary Interiors*, 150 (1 – 3), 3 – 14.

## ۵-نتیجه‌گیری

در این مطالعه داده‌های مگنتوتولوکی منطقه شمال سبلان بررسی شده‌اند. در این بررسی‌ها ابتدا با استفاده از روش‌های تحلیل ابعادی چولگی حساس به فاز و نامتغیرهای چرخشی نشان داده شده است که ساختارهای منطقه در دوره‌های تنابوب بلند که متناظر با عمق مورد بررسی منابع زمین‌گرمایی هستند، ماهیت سه‌بعدی دارند. برای همین ضرورت مدل‌سازی سه‌بعدی نشان داده شده است. در ادامه با معکوس‌سازی سه‌بعدی داده‌ها مگنتوتولوکی منطقه، مدل سه‌بعدی مقاومت‌ویژه برای میدان مورد بررسی به دست آمده است.

نتایج مدل‌سازی سه‌بعدی یک منطقه داغ در شرق محدوده مورد مطالعه، زیر ایستگاه‌های ۳، ۲۰۵ و ۲۰۶ در عمق حدود ۲۰۰۰ متری نشان می‌دهند. این منطقه با مساحتی در حدود ۶ کیلومتر مربع به‌طور تقریبی نصف منطقه داغ مشخص شده توسط نتایج مدل‌سازی دو بعدی است. در واقع نتایج مدل‌سازی سه‌بعدی به‌طور بهتری موقعیت قرارگیری منبع زمین‌گرمایی را نشان داده‌اند. همچنین مناطق دگرسانی مرتبط با منبع زمین‌گرمایی با توجه به گسل‌های منطقه به طور بهتری در مدل سه‌بعدی توجیه شده‌اند.

## ۶-تشکر و قدردانی

با توجه به این که داده‌های مگنتوتولوکی این مطالعه توسط بخش زمین‌گرمایی سازمان انرژی‌های نو در اختیار مؤلفین قرار داده شده است، از همکاری مدیریت این بخش و کارکنان مربوطه قدردانی می‌شود.

<sup>1</sup> Sinclair Knight Merz

<sup>2</sup> TEM: Time Domain Electromagnetic

<sup>3</sup> DC: Direct Current

<sup>4</sup> EDC: Energy Development Corporation

<sup>5</sup> Hotter zone